

# تأثیر منابع مختلف کودی بر ویژگی‌های کیفی ذرت علوفه‌ای تحت تنفس کم‌آبی

فرزاد قدرتی آورسی<sup>۱</sup>، جلال جلیلیان<sup>۲\*</sup> و سینا سیاوش مقدم<sup>۳</sup>

تاریخ پذیرش: ۱۳۹۸/۰۳/۱۱

تاریخ دریافت: ۱۳۹۷/۱۰/۲۰

### چکیده

به منظور مطالعه اثر کودهای مختلف بر کاهش آثار تنفس کم‌آبی در ذرت علوفه‌ای (KSC703)، آزمایشی به صورت کرت‌های خردشده در قالب طرح بلوک‌های کامل تصادفی با سه تکرار در سال ۱۳۹۵ در آذربایجان غربی اجرا شد. تیمارهای آبیاری شامل آبیاری در ۸۰ درصد ظرفیت زراعی (آبیاری معمولی) و آبیاری در ۵۰ درصد ظرفیت زراعی (تنفس کم‌آبی) به عنوان عامل اصلی و منابع کودی شامل شاهد (آب پاشی)، کود آلی-زیستی، محلول پاشی کودهای کامل (شیمیایی، نانو) و کاربرد توام ۵۰ درصدی کودها (آلی-زیستی+نانو، آلی-زیستی+شیمیایی، شیمیایی+نانو) به عنوان عامل فرعی آزمایش در نظر گرفته شدند. نتایج مقایسه میانگین‌ها نشان داد که بیشترین میزان رنگیزه‌های فتوستنتزی (کلروفیل‌های a و b) تحت شرایط آبیاری معمولی و کاربرد توام ۵۰ درصدی کودهای شیمیایی+نانو به دست آمد و سبب شد که بیشترین میزان عملکرد علوفه تر (۷۰ تن در هکتار) و خشک ۳۲ تن در هکتار) به دست آید. این ترکیب تیماری سبب افزایش ۴۷ درصدی عملکرد علوفه تر و خشک ذرت در مقایسه با تیمار کودی شاهد شد. بیشترین میزان پرولین از تیمار کود نانو تحت شرایط تنفس کم‌آبی به دست آمد. بیشتر تیمارهای کودی منجر به افزایش پتانسیم برگ تحت هر دو شرایط آبیاری شدند. همچنین، کاربرد اغلب تیمارهای کودی تحت شرایط آبیاری معمولی، سبب افزایش بروتئین خام، هضم‌پذیری ماده خشک، کربوهیدرات‌های محلول در آب و میزان فیر خام در مقایسه با تیمار شاهد شد. به طور کلی بر اساس نتایج این تحقیق، کاربرد توام ۵۰ درصدی کودهای شیمیایی+نانو به دلیل بهبود برخی ویژگی‌های کمی و کیفی ذرت علوفه‌ای، به عنوان ترکیب تیماری تاثیرگذار تحت هر دو شرایط آبیاری تعیین شد.

**واژه‌های کلیدی:** پروتئین خام، پرولین، کود زیستی، کود شیمیایی، کود نانو

۱- دانشجوی سابق کارشناسی ارشد، گروه مهندسی تولید و ژنتیک گیاهی، دانشکده کشاورزی و منابع طبیعی، دانشگاه ارومیه، ارومیه، ایران

۲- دانشیار، گروه مهندسی تولید و ژنتیک گیاهی، دانشکده کشاورزی و منابع طبیعی، دانشگاه ارومیه، ارومیه، ایران

۳- استادیار، گروه مهندسی تولید و ژنتیک گیاهی، دانشکده کشاورزی و منابع طبیعی، دانشگاه ارومیه، ارومیه، ایران

\* نویسنده مسئول: [J.Jalilian@urmia.ac.ir](mailto:J.Jalilian@urmia.ac.ir)

## مقدمه

پرصرف (نیتروژن، فسفر، پتاسیم) و کمصرف (روی، آهن، مولیبدن، مس، منگنز و بور) به خاک سبب کاهش کارایی کودهای زیستی و کاهش جذب آب و مواد غذایی در گیاه می‌شود. برای رفع این مشکل می‌توان با تلفیق کودهای زیستی و محلول‌پاشی عناصر غذایی، بهره‌برداری از عناصر غذایی خاک و تولید عملکرد گیاه را به طور چشم‌گیری افزایش داد (Archana *et al.*, 2012; Amanullah *et al.*, 2012; Gendy *et al.*, 2012; Maougal *et al.*, 2014). افزایش پروتئین خام و کربوهیدرات‌های محلول در آب با استفاده از کودهای زیستی نیز گزارش شده است (Dastbandan Nejadet *et al.*, 2010). در سال‌های اخیر تلاش‌های گسترده‌ای با هدف یافتن راه کارهای مناسب برای بهبود کیفیت خاک، محصولات کشاورزی و حذف آلاینده‌ها آغاز شده است. استفاده از فناوری نانو در کشاورزی موجب شده است نانو کودهایی تولید شوند که بهمدت طولانی در خاک باقی می‌مانند و در اختیار گیاه قرار می‌گیرند و به آسانی توسط گیاهان جذب می‌شوند (Rameshaiah and Jpallavi, 2015). مطالعات متعدد نشان داده‌اند که کاربرد نانو کودها به خاطر آزادسازی تدریجی موجب افزایش کارایی مواد غذایی در گیاهان می‌شوند (Siddiqui *et al.*, 2015). با توجه به ضرورت کاهش مصرف کودهای شیمیایی جهت کاهش آلودگی‌های زیستمحیطی و نیز مصرف بهینه آب آبیاری در راستای تولید پایدار و افزایش کارایی اقتصادی در شرایط کشت دوم، این پژوهش اجرا شد که هدف آن، بررسی اثر کودهای نانو، شیمیایی، زیستی-آلی و کاربرد توأم این کودها بر صفات فیزیولوژیک و کیفیت علوفه ذرت تحت شرایط آبیاری معمولی و تنفس کم‌آبی بود.

## مواد و روش‌ها

به منظور بررسی اثر منابع مختلف کودی بر گیاه ذرت علوفه‌ای (هیرید KSC703) تحت شرایط کم‌آبی، آزمایشی به صورت کرت‌های خردشده در قالب طرح بلوک‌های کامل تصادفی با سه تکرار در سال ۱۳۹۵ اجرا شد. مزرعه آزمایشی در منطقه سیلوان‌ها در استان آذربایجان غربی (با طول و عرض جغرافیایی ۴۰°، ۲۹°، ۸۷°، ۲۳°، ۶۰° و ۳۷°) به صورت کشت دوم پس از برداشت جو با ویژگی‌های خاک به شرح جدول ۱ بود. متوسط بارندگی سالانه سیلوان‌ها بر اساس آمار هوشنگی استان آذربایجان غربی در سال ۱۳۹۵، ۲۸۶/۲ میلی‌متر، رطوبت نسبی ۵۶ درصد و حداقل و حداکثر دما در دوره رشد به ترتیب ۶/۸ و ۳۷/۷ درجه سلسیوس بود.

ذرت (*Zea mays* L.) به عنوان یکی از مهم‌ترین غلات، اهمیت زیادی در تامین انرژی انسان و دام دارد. با توجه به گزارش سازمان خوار و بار کشاورزی، پنجمین کالای تولید شده در جهان است (FAOSTAT, 2018). تولید جهانی ذرت در سال ۲۰۱۸ بیش از ۱۰۰۰ میلیون تن بود و بیشترین تولید را ایالات متحده آمریکا (۳۷۹ میلیون تن)، چین (۲۱۵ میلیون تن) و بربزیل (۸۵ میلیون تن) داشته است (USDA, 2018). خشکی یکی از مهم‌ترین عوامل محدودکننده تولید گیاهان در جهان است که هر ساله عملکرد جهانی ذرت را به طور متوسط ۱۷ درصد کاهش می‌دهد و در بعضی مناطق این کاهش تا ۷۰ درصد Dastbandan Nejadet *et al.*, 2010). کاهش رنگیزه‌های فتوسنتری، کاهش جذب عناصر غذایی و افزایش پرولین در اثر تنفس خشکی نیز توسط برخی Wu and Xia, 2006;. از محققین گزارش شده است (Moharramnejed *et al.*, 2016). بنابراین، می‌بایست راه کارهایی جهت افزایش راندمان و استفاده بهینه از آب جستجو کرد. یکی از اقدامات کارآمد در صرفه‌جویی آب کشاورزی، استفاده از راه کار کم‌آبیاری است که در آن، به گیاه کمتر از نیاز واقعی آب داده می‌شود (Payero *et al.*, 2009).

در اقلیم‌های خشک و نیمه‌خشک مانند ایران، بهدلیل عدم وجود پوشش گیاهی کافی، میزان مواد آلی خاک کم است. از طرفی، بهدلیل حذف بقاوی‌گیاهی و تخلیه خاک از عناصر غذایی و مواد آلی، استفاده بی‌رویه از کودهای شیمیایی مرسوم است که آثار مخربی را بر ظرفیت نگهداری آب و خاک و توانایی گیاهان برای سازگاری با تغییرات آب و هوایی در این مناطق داشته است (Sika, 2012). کاربرد منابع و نهاده‌های تجدیدپذیر، یکی از اصول کشاورزی پایدار است که موجب حداکثر بهره‌وری زراعی و کمترین خطرات زیستمحیطی می‌شود (Kizilkaya, 2008). کودهای زیستی در برخی موارد به عنوان جایگزین و در بیشتر موارد به عنوان مکمل کودهای شیمیایی می‌توانند پایداری تولید نظامهای کشاورزی را تضمین کنند (Arrudaa *et al.*, 2013). کودهای زیستی حاوی ریز موجودات آزادی هستند که طی فرایند بیولوژیک، عناصر غذایی اصلی را از فرم غیرقابل دسترس به فرم قابل دسترس تبدیل می‌کنند (Khan *et al.*, 2013). برخی گزارش‌ها نشان می‌دهند که کاربرد کودهای زیستی به همراه افزودن عناصر غذایی

جدول ۱- ویژگی‌های فیزیکی و شیمیایی خاک مزرعه آزمایشی

Table 1. Soil physico-chemical properties of the experimental field

Soil texture	EC*	pH	OC*	Total N*	P	K	Zn	Cu	Fe
	(dS.m <sup>-1</sup> )		(%)				(mg.kg <sup>-1</sup> )		
Sandy loam	4.84	7.8	3.45	0.215	13.5	194	1.4	1.2	2.4

\*: OC, organic carbon; EC, electrical conductivity.

۷/۵ تن در هکتار قبل از کشت به خاک اضافه شد. سپس کودهای زیستی محصول شرکت زیستفناور که شامل فسفات بارور-۲، پتاس بارو-۲ و ازت بارور-۱ بودند، قبل از کاشت بهمیزان ۱۰۰ گرم در هکتار با بذر در سایه آغشته شدند و بذرها بعد از دو ساعت به صورت کپهای با فاصله ۱۰ سانتی‌متر روی ردیف‌ها کشت شدند. پس از استقرار کامل گیاهچه‌ها، کرت‌های آزمایشی تا تراکم ۲۰ بوته در متر مربع تنک شدند. تیمارهای محلول‌پاشی از هفت‌ه سوم پس از کاشت با فاصله ۱۰ روز یکبار و سه بار تکرار، تازمان خیس شدن کامل گیاهان اعمال شدند. کود کامل شیمیایی محتوای نیتروژن، فسفر و پتاسیم (N<sub>20%</sub>, P<sub>20%</sub>, K<sub>20%</sub>) در چند نوبت به صورت دستی انجام شد. نمونه‌برداری از کرت‌های آزمایشی به منظور سنجش رنگیزه‌های فتوسنتزی، پرولین و پتاسیم، در مرحله ظهور گل تاجی انجام شد. در پایان فصل رشد، پس از حذف بوتهای حاشیه از هر کرت، یک متر مربع برداشت و وزن تر و خشک علوفه اندازه‌گیری شد. سنجش رنگیزه‌های فتوسنتزی با استفاده از روش آرنون انجام شد (Arnon, 1949). اندازه‌گیری پرولین تجمع یافته در برگ با استفاده از اسپکتروفوتومتر در طول موج ۵۲۰ نانومتر و با توجه به منحنی استاندارد، بر حسب میلی‌مول بر گرم وزن تر برگ تعیین شد (Bates *et al.*, 1973). برای سنجش عناصر غذایی از روش طیفسنجی (رنگ زرد مولیبدات و وانادات) و هضم خشک با استفاده از دستگاه‌های اسپکتروفوتومتر در طول موج ۴۷۰ نانومتر (فسفر) و روش Tenninghoff and فلیم‌فوتومتری (پتاسیم) انجام شد (Houba, 2004). همچنین برای اندازه‌گیری کیفیت علوفه در مرحله شیری شدن دانه ذرت تعداد ۱۰ بوته پس از خشک شدن در آون در دمای ۷۰ درجه سلسیوس، با آسیاب

پس از برداشت جو، بستر کشت ذرت علوفه‌ای آماده شد. تیمار آبیاری به عنوان عامل اصلی شامل آبیاری در ۸۰ درصد ظرفیت زراعی (آبیاری معمولی) و آبیاری در ۵۰ درصد ظرفیت زراعی (تنش کم‌آبی) و منابع کودی به عنوان عامل فرعی شامل (۱) شاهد (آب‌پاشی)، (۲) کود آلی-زیستی، (۳ و ۴) محلول‌پاشی کودهای کامل (شیمیایی و نانو)، (۵، ۶ و ۷) کاربرد توازن ۵۰ درصدی کودها به صورت (۵) آلی-زیستی + نانو، (۶) آلی-زیستی + شیمیایی و (۷) شیمیایی + نانو بودند. ابعاد کرت‌های آزمایش به طول ۳/۶ متر و عرض ۲/۵ متر بودند و در هر کرت پنج ردیف کاشت به فاصله ۵۰ سانتی‌متر بین ردیف‌ها و ۱۰ سانتی‌متر روی ردیف‌ها در نظر گرفته شد.

به منظور اعمال تیمارهای آبیاری، ابتدا وزن مخصوص ظاهری خاک (g.cm<sup>-3</sup>) و میزان رطوبت وزنی خاک در ظرفیت زراعی (۲۳ درصد) و در نقطه پژمرده‌گی دائم (۱۰/۲ درصد) در نمونه خاک مزرعه اندازه‌گیری شد و سپس مقدار آب مورد نیاز برای تیمارهای ۸۰ درصد ظرفیت زراعی و ۵۰ درصد ظرفیت زراعی طبق رابطه (۱) تعیین شد (Benami and Ofen, 1984)

$$VN = \frac{[(FC - WP) \times BD \times (1 - ASM) \times A]}{100} \quad (1)$$

در این رابطه، VN مقدار آب مورد نیاز برای تیمارهای ۸۰ درصد ظرفیت زراعی و ۵۰ درصد ظرفیت زراعی، FC درصد وزنی رطوبت در حد ظرفیت مزرعه‌ای، WP درصد وزنی رطوبت در نقطه پژمرده‌گی، BD جرم مخصوص ظاهری خاک (بر حسب گرم بر سانتی‌متر مکعب)، D عمق توسعه ریشه (بر حسب متر)، ASM رطوبت خاک مزرعه در زمان قبل از آبیاری و A مساحت هر کرت (بر حسب متر مربع) است. میزان آب مصرفی در هر یک از رژیم‌های آبیاری با استفاده از کنتور اندازه‌گیری و اعمال تنش کم‌آبی از هفته سوم کاشت به بعد انجام شد.

به منظور اعمال تیمار کود آلی-زیستی، کود دامی (کود گاوی) در تیمارهای کامل، کود آلی به میزان ۱۵ تن در هکتار و در تیمارهای ۵۰ درصد، نصف مقدار کود دامی یعنی

زراعی تفاوت معنی داری نداشت. به عبارت دیگر، اعمال کود نانو تحت شرایط آبیاری در ۵۰ درصد ظرفیت زراعی موجب افزایش پرولین نسبت به سایر تیمارهای کودی تحت هر دو Delauney شرایط آبیاری شد (جدول ۴). دلانی و همکاران (Delauney et al., 1993) گزارش کردند که عناصر ریزمغذی در شرایط تنش خشکی نقش افزایش دهنده تنظیم اسمزی (به خاطر افزایش پرولین و یا قندهای محلول) دارند. بنابراین می‌توان دریافت که کاربرد کود (نانو) به واسطه تامین عناصر غذایی مورد نیاز گیاه سبب افزایش فتوسنتر و ماده سازی و افزایش میزان اسیدهای آمینه از جمله پرولین در گیاه می‌شود.

#### پتابسیم برگ

گیاهان تحت تیمار کود آلی-زیستی تحت شرایط آبیاری معمولی بیشترین مقدار پتابسیم برگ (۳/۲۵ درصد) و تحت تیمار کاربرد توام ۵۰ درصد کودهای شیمیایی + آلی-زیستی تحت هر دو شرایط آبیاری کمترین مقدار آن را داشتند. همچنین نتایج نشان داد که تغذیه مطلوب در شرایط تنش کم‌آبی مانع از کاهش جذب پتابسیم به جز در تیمار کاربرد توام ۵۰ درصد کودهای شیمیایی + آلی-زیستی شد (جدول ۴). افزایش اسیدیته خاک و عدم تثبیت پتابسیم در حضور کودهای زیستی از دلایل افزایش دستری این عنصر در Bahadur et al., 2014). کاهش پتابسیم طی تنش خشکی توسط وبو و ژیا (Wu and Xia, 2006) هم گزارش شد. تعداد زیادی از ریز جانداران در آزادسازی پتابسیم به شکل قابل استفاده از ترکیبات معدنی و بنابراین افزایش جذب توسط گیاه نقش دارد. گزارش شده است که میزان افزایش حلالیت پتابسیم بر اثر تلقیح با باکتری‌های محرک رشد ۸۴/۸-۱۲۷/۹ درصد نسبت به شاهد بوده است (Meena et al., 2014).

به طور کامل پودر و از هر کدام یک نمونه ۱۰۰ گرمی جدا شد. اندازه‌گیری کیفیت علوفه با روش طیف‌سنجی مادون Pertem (NIR) با استفاده از دستگاه مدل Inframatic 8620 انجام شد. روش طیف‌سنجی مادون قرمز بر اساس جذب و انعکاس اشعه مادون قرمز در طول موج‌های بین ۷۰۰-۲۵۰۰ نانومتر استوار است. در این روش، اشعه بر جسم تابانیده می‌شود و انرژی منعکس شده (R) از نمونه بر اساس لگاریتم L/R اندازه‌گیری و دستگاه بر اساس برازش معادلات خطی رگرسیونی چندمتغیره بین انرژی‌های منعکس شده از جسم و داده‌های شیمیایی، کالیبره می‌شود. پس از کالیبراسیون دستگاه NIR، صفات مورد مطالعه اندازه‌گیری شد (Jafari et al., 2003). تجزیه و تحلیل داده‌ها با نرم‌افزار SAS و مقایسه میانگین‌ها با روش LSD در سطح احتمال پنج درصد انجام شد.

#### نتایج و بحث

نتایج تجزیه واریانس داده‌ها (جدول‌های ۲ و ۳) نشان داد که اثر برهمکنش رژیم‌های آبیاری × کود بر تمامی صفات به جز فسفر برگ معنی دار بود.

#### پرولین

نتایج نشان داد که گیاهان تحت تنش کم‌آبی دارای پرولین بیشتری نسبت به گیاهان تحت شرایط آبیاری معمولی بودند. بیشترین مقدار پرولین ۹/۰ میلی مول در گرم وزن تر برگ در تیمار کود نانو تحت شرایط آبیاری در ۵۰ درصد ظرفیت زراعی و کمترین مقدار آن (۲/۰۸ میلی مول در گرم وزن تر برگ) در تیمار کود شیمیایی تحت شرایط آبیاری ۸۰ درصد ظرفیت زراعی مشاهده شد که با تیمار کود شیمیایی تحت شرایط آبیاری ۵۰ درصد ظرفیت

جدول ۲- تجزیه واریانس صفات کمی و فیزیولوژیک ذرت علوفه‌ای تحت رژیم‌های مختلف آبیاری و کودی

Table 2. Analysis of variance for quantitative and physiological traits of forage maize as affected by different irrigation regimes and fertilizers

Sources of variations	df	Proline	Potassium	Phosphorus	Chlorophyll-a	Chlorophyll-b	Total chlorophyll	Fresh forage weight	Dry forage weight
Block (B)	2	0.015	0.022	6×10 <sup>-3</sup>	0.373	0.047	0.59	3.73	0.803
Irrigation regime (I)	1	1.143 <sup>ns</sup>	0.07 <sup>ns</sup>	9×10 <sup>-6</sup> ns	1.64 <sup>**</sup>	0.390 <sup>ns</sup>	3.613 <sup>**</sup>	2126.03 <sup>**</sup>	457.05 <sup>**</sup>
B×I	2	0.034	0.39	1×10 <sup>-3</sup>	0.136	0.288	0.724	4.77	1.419
Fertilizer (F)	6	16.80 <sup>**</sup>	0.409 <sup>**</sup>	7×10 <sup>-3</sup> ns	2.287 <sup>**</sup>	0.243 <sup>ns</sup>	3.138 <sup>**</sup>	302.68 <sup>**</sup>	115.50 <sup>**</sup>
I×F	6	5.12 <sup>**</sup>	0.173 <sup>*</sup>	1.4×10 <sup>-3</sup> ns	1.028 <sup>**</sup>	0.31 <sup>**</sup>	1.753 <sup>**</sup>	328.20 <sup>**</sup>	80.14 <sup>**</sup>
Error	24	0.655	0.654	7×10 <sup>-3</sup>	0.17	0.099	0.275	3.08	2.67
CV (%)	-	16.761	9.07	40.63	13.55	19.46	11.237	4.31	8.241

<sup>ns</sup>, \* and <sup>\*\*</sup>: Not-significant and significant at 5% and 1% probability levels, respectively.

جدول ۳- تجزیه واریانس صفات کیفی ذرت علوفه‌ای تحت رژیم‌های مختلف آبیاری و کودی

Table 3. Analysis of variance for qualitative traits of forage maize as affected by different irrigation regimes and fertilizers

Sources of variations	df	Crude protein	Dry matter digestibility	Water soluble carbohydrate	Ash	Crude fiber
Block (B)	2	6.85	0.83	0.013	0.055	2.017
Irrigation regime (I)	1	1.43 <sup>ns</sup>	0.031 <sup>ns</sup>	0.165 <sup>ns</sup>	0.162 <sup>ns</sup>	2.361 <sup>ns</sup>
B×I	2	3.39	2.74	0.280	0.109	1.794
Fertilizer (F)	6	2.33 <sup>ns</sup>	2.58 <sup>ns</sup>	2.509*	0.072**	1.443 <sup>ns</sup>
I× F	6	4.70*	29.57**	3.93**	0.194*	4.101*
Experimental error	24	1.51	3.37	0.703	0.065	1.332
CV (%)	-	6.21	2.67	3.64	2.44	5.39

<sup>ns</sup>, \* and \*\*: Not-significant and significant at 5% and 1% probability levels, respectively.

جدول ۴- مقایسه میانگین صفات کمی و فیزیولوژیک ذرت علوفه تحت رژیم‌های مختلف آبیاری و کودی

Table 4. Means comparison of the qualitative and quantitative traits of forage maize as affected by different irrigation regimes and fertilizer

Irrigation regime	Fertilizer <sup>†</sup>	Proline (mmol.g <sup>-1</sup> fresh weight)	Potassium (%)	Fresh forage weight (t.ha <sup>-1</sup> )	Dry forage weight (t.ha <sup>-1</sup> )	Crude protein (%)	Dry matter digestibility (%)	Ash (%)
Irrigation in 80% field capacity	Control	4.96 <sup>cde</sup>	2.69 <sup>c</sup>	37.34 <sup>f</sup>	17.043 <sup>d</sup>	18.52 <sup>e</sup>	68.560 <sup>b-e</sup>	10.693 <sup>ab</sup>
	Application of 50% N+C	4.18 <sup>def</sup>	3.14 <sup>ab</sup>	70.073 <sup>a</sup>	32.093 <sup>a</sup>	18.747 <sup>cde</sup>	65.447 <sup>f</sup>	10.416 <sup>a-e</sup>
	N	5.59 <sup>c</sup>	3.17 <sup>ab</sup>	40.27 <sup>ef</sup>	26.39 <sup>b</sup>	20.097 <sup>a-e</sup>	71.500 <sup>ab</sup>	10.486 <sup>a-d</sup>
	C	2.083 <sup>g</sup>	2.94 <sup>abc</sup>	48.08 <sup>c</sup>	24.29 <sup>b</sup>	20.790 <sup>abc</sup>	66.607 <sup>ef</sup>	10.593 <sup>ab</sup>
	Application of 50% C+Ob	5.40 <sup>cd</sup>	2.04 <sup>d</sup>	55.423 <sup>b</sup>	30.49 <sup>a</sup>	18.550 <sup>e</sup>	69.753 <sup>a-d</sup>	10.443 <sup>a-e</sup>
	Ob	5.51 <sup>cd</sup>	3.25 <sup>a</sup>	38.63 <sup>f</sup>	12.13 <sup>e</sup>	20.060 <sup>a-e</sup>	70.057 <sup>abc</sup>	10.33 <sup>b-e</sup>
Irrigation in 50% field capacity	Application of 50% Ob+N	3.783 <sup>ef</sup>	2.76 <sup>bc</sup>	44.73 <sup>d</sup>	19.61 <sup>cd</sup>	20.703 <sup>a-d</sup>	68.970 <sup>b-e</sup>	10.476 <sup>a-d</sup>
	Control	4.27 <sup>c-f</sup>	2.66 <sup>c</sup>	23.95 <sup>i</sup>	13.49 <sup>e</sup>	20.697 <sup>a-d</sup>	67.467 <sup>c-f</sup>	10.040 <sup>e</sup>
	Application of 50% N+C	3.44 <sup>fg</sup>	2.75 <sup>bc</sup>	32.99 <sup>g</sup>	19.157 <sup>cd</sup>	21.533 <sup>a</sup>	72.137 <sup>a</sup>	10.503 <sup>a-d</sup>
	N	9.03 <sup>a</sup>	3.03 <sup>abc</sup>	28.827 <sup>h</sup>	12.340 <sup>e</sup>	19.933 <sup>a-de</sup>	65.177 <sup>f</sup>	10.766 <sup>a</sup>
	C	2.26 <sup>g</sup>	2.75 <sup>bc</sup>	28.22 <sup>h</sup>	13.28 <sup>e</sup>	18.640 <sup>de</sup>	70.127 <sup>abc</sup>	10.136 <sup>cde</sup>
	Application of 50% C+Ob	7.38 <sup>b</sup>	2.60 <sup>c</sup>	30.43 <sup>gh</sup>	21.527 <sup>c</sup>	19.260 <sup>b-e</sup>	67.570 <sup>c-f</sup>	10.553 <sup>abc</sup>
	Ob	4.25 <sup>c-f</sup>	2.80 <sup>bc</sup>	42.053 <sup>de</sup>	18.59 <sup>d</sup>	19.130 <sup>b-e</sup>	66.845 <sup>def</sup>	10.446 <sup>a-de</sup>
	Application of 50% Ob+N	5.45 <sup>cd</sup>	2.83 <sup>abc</sup>	48.473 <sup>c</sup>	17.48 <sup>d</sup>	18.293 <sup>e</sup>	71.150 <sup>ab</sup>	10.106 <sup>de</sup>

Means followed by the similar letters in each column are not significantly different by LSD test at 5% probability level.

<sup>†</sup>: C, chemical fertilizer; Ob, organic bio-fertilizer; N, nano fertilizer.

گرم وزن تر برگ) در تیمار شاهد تحت شرایط آبیاری ۵۰ درصد ظرفیت زراعی مشاهده شد، به عبارت دیگر کود نانو در شرایط آبیاری ۸۰ درصد ظرفیت زراعی موجب افزایش ۴۹/۳۲ درصدی کلروفیل کل نسبت به تیمار شاهد در شرایط آبیاری ۵۰ درصد ظرفیت زراعی شد (شکل ۱). به نظر می‌رسد محلول پاشی عناصر غذایی با استفاده از کود نانو (با ترکیب %N<sub>20</sub>%, -P<sub>20</sub>%-K<sub>20</sub>) و عناصر ریزمغذی شامل روی، آهن، مولیبدن، مس، منگنز و بور) در شرایط ۸۰ و ۵۰ درصد ظرفیت زراعی از کاهش و تخریب کلروفیل جلوگیری کرده است. کود حاوی نیتروژن باعث سنتز کلروفیل می‌شود (Jeffrey and Gyles, 2003).

گیاه در مراحل رویشی و یا زایشی رشد خود در معرض تنش کم‌آبی قرار می‌گیرد، محلول پاشی عناصر ریزمغذی از کاهش شدید کلروفیل و کاهش فتوسنتر جلوگیری می‌کند و در

### رنگیزهای فتوسنترزی

نتایج حاصل از تجزیه واریانس داده‌ها نشان داد که برهمکنش رژیم آبیاری و سطوح تغذیه گیاهی بر رنگیزهای فتوسنترزی در سطح احتمال یک درصد معنی دار بود (جدول ۳). بالاترین مقادیر کلروفیل a (۴/۵۶ میلی گرم در گرم وزن تر برگ)، کلروفیل b (۲/۰۹ میلی گرم در گرم وزن تر برگ) و کلروفیل کل (۶/۶۵ میلی گرم در گرم وزن تر برگ) تحت تیمار کودی نانو و در شرایط آبیاری ۸۰ درصد ظرفیت زراعی حاصل شد (شکل ۱). با اینکه اغلب تیمارهای کودی در هر دو شرایط آبیاری از نظر تاثیر بر رنگیزهای فتوسنترزی در یک گروه آماری قرار داشتند، اما کمترین مقدار کلروفیل a در تیمار شاهد مشاهده شد که البته با برخی از تیمارهای کودی در یک گروه آماری قرار داشتند. همچنین کمترین مقدار کلروفیل کل (۳/۳۷ میلی گرم در

کردن. زاهیر و همکاران (Zahir *et al.*, 2000) افزایش وزن خشک بوته ذرت در اثر کاربرد باکتری‌های محرك رشد را مشاهده کردند. پژوهشگران دیگری نیز گزارش کرده‌اند که محدودیت منابعی مانند آب از طریق کاهش فتوسنترز جاری منجر به محدودیت منبع و مخزن می‌شوند و بنابراین، تجمع ماده خشک در بخش‌های مختلف گیاه کاهش می‌یابد (Madani *et al.*, 2010; Barati and Ghadiri, 2017).

### پروتئین خام (CP)

نتایج نشان داد که تیمارهای کودی شاهد، کاربرد توام ۵۰ درصدی کودهای نانو+شیمیایی و استفاده جداگانه از کود نانو در شرایط تنش کم‌آبی، بیشترین میزان پروتئین خام را دارا بودند و همه آن‌ها در یک گروه آماری قرار گرفتند (جدول ۴). بنابراین، نتایج تحقیق حاضر این واقعیت را نشان دادند که تیمارهای کودی تحت شرایط تنش کم‌آبی کارآیی لازم را نداشتند. همچنان نتایج نشان داد که تحت شرایط آبیاری معمولی، تیمارهای کودی نانو، شیمیایی، آلی-زیستی و کاربرد توام ۵۰ درصدی کودهای آلی-زیستی + نانو از نظر تاثیر بر میزان پروتئین خام، تاثیر مشابهی داشتند و موثرتر از سایر تیمارهای کودی بودند (جدول ۵). بنابراین با توجه به اهمیت میزان پروتئین علوفه در تغذیه دام و نیز با توجه به هزینه استفاده از منابع کودی تحت شرایط آبیاری معمولی، کاربرد کود زیستی-آلی جهت بهدست آوردن بیشترین میزان پروتئین خام در ذرت علوفه‌ای به عنوان نتایج این پژوهش توصیه می‌شود. افزایش پروتئین خام بهدلیل دسترسی به عناصر کم‌صرف و پرصرف توسط پژوهشگران دیگری نیز گزارش شده است (Ness and Woolhouse, 1980; Marschner, 2006).

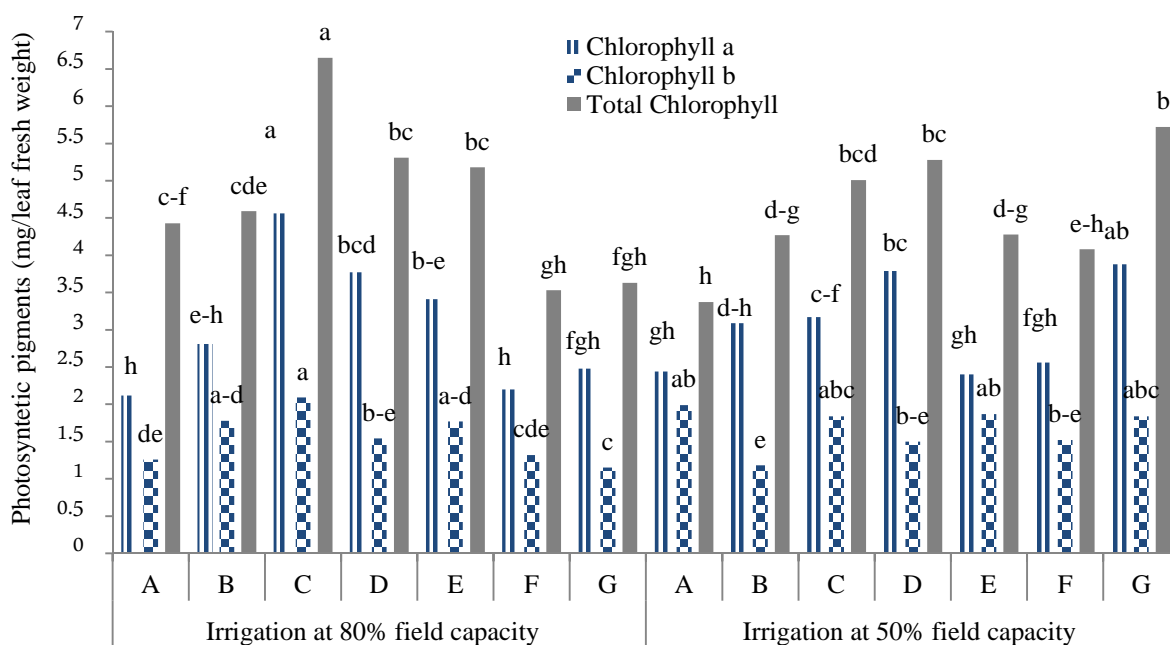
همچنان، افزایش میزان پروتئین خام از طریق کاربرد کود زیستی توسط بونا و همکاران (Bona *et al.*, 2017) نیز گزارش شده است.

نتیجه باعث رشد مطلوب‌تر گیاه می‌شود و به گیاه کمک می‌کند تا عملکرد خود را تا حدود زیادی حفظ کند (Veberic *et al.*, 2005).

### وزن تر و خشک علوفه

نتایج مقایسه میانگین‌ها نشان داد که بیشترین وزن علوفه تر (۷۰/۰۷۳ تن در هکتار) و علوفه خشک (۳۲/۰۹۳ تن در هکتار) در تیمار کاربرد توام ۵۰ درصدی کودهای نانو+شیمیایی و در شرایط آبیاری در ۸۰ درصد ظرفیت زراعی بهدست آمد، در حالی که کمترین وزن علوفه تر (۲۳/۰۹۵ تن در هکتار) در گیاهان تحت تیمار شاهد در شرایط آبیاری در ۵۰ درصد ظرفیت زراعی مشاهده شد (جدول ۴). گیاهان تحت تیمارهای کودی شاهد، نانو و شیمیایی در شرایط آبیاری در ۵۰ درصد ظرفیت زراعی و تیمار کود آلی-زیستی در شرایط آبیاری ۸۰ درصد ظرفیت زراعی کمترین میزان علوفه خشک را تولید کردند. تیمار کاربرد توام ۵۰ درصدی کودهای شیمیایی+آلی-زیستی در شرایط آبیاری معمولی اختلاف معنی‌داری با تیمار کاربرد توام ۵۰ درصدی کودهای نانو+شیمیایی نداشت. همچنان تیمار کود نانو در شرایط آبیاری در ۵۰ درصد ظرفیت زراعی از لحاظ کمترین مقدار وزن خشک علوفه با تیمار کود آلی-زیستی در شرایط آبیاری ۸۰ درصد ظرفیت زراعی در یک گروه قرار گرفتند (جدول ۴).

به‌نظر می‌رسد که فراهمی عناصر غذایی متعدد در کودهای شیمیایی و نانو سبب بهبود فرایند فتوسنترز و در نتیجه رشد سریع‌تر می‌شود که منجر به افزایش تجمع ماده خشک و مواد معدنی در ساقه‌ها و برگ‌های گیاه شده است. شرایط مطلوب آبیاری به همراه تغذیه مناسب گیاه با افزایش فتوسنترز و تولید ماده خشک بیشتر باعث تولید اندام‌های رویشی بیشتر و افزایش وزن تر و خشک علوفه می‌شود. اوسبورن و همکاران (Osborne *et al.*, 2002) نیز کاهش معنی‌دار عملکرد علوفه ذرت در اثر تنش خشکی را گزارش



شکل ۱- مقایسه میانگین رنگیزهای فتوسنتزی برگ ذرت علوفه‌ای تحت رژیم‌های مختلف آبیاری و کودی. تیمارهای کودی عبارت‌اند از: A شاهد، B کاربرد توان ۵۰ درصدی کودهای نانو+شیمیایی، C کود نانو، D کاربرد توان ۵۰ درصدی کودهای شیمیایی+زیستی-آلی، E کاربرد توان ۵۰ درصدی کودهای زیستی-آلی+نانو. میانگین‌های دارای حروف مشابه، تفاوت آماری معنی‌داری با آزمون LSD در سطح احتمال ۵ درصد ندارند.

Figure 1. Means comparison of the leaf photosynthetic pigments of forage maize as affected by different irrigation regimes and fertilizers. Fertilizer treatments are included: A, control; B, combined fertilizers with 50% ratio of nano + chemical; C, nano fertilizer; D, chemical fertilizer; E, combined fertilizers with 50% ratio of chemical + organic-biofertilizer; F, organic-biofertilizer; G, combined fertilizers with 50% ratio of organic-biofertilizer + nano. Means followed by the similar letters are not significantly different by LSD test at 5% probability level.

تعیین کننده کیفیت علوفه هستند که وظیفه آن‌ها تامین انرژی برای ریزانداران شکمبه و حفظ سلامت دستگاه گوارش دام است (Lithourgidis *et al.*, 2006). نتایج این آزمایش نشان داد که کاربرد تیمار کودی آلی-زیستی تحت شرایط آبیاری در ۸۰ درصد ظرفیت زراعی موجب افزایش ۲۵/۶ درصدی کربوهیدرات‌های محلول در آب نسبت به تیمار شاهد در هر دو شرایط آبیاری شد (شکل ۲). افزایش کربوهیدرات‌های محلول در آب از طریق کودهای زیستی توسط گندی و همکاران (Gendy *et al.*, 2012) نیز گزارش شد.

#### خاکستر (Ash)

خاکستر علوفه در واقع بیانگر مقدار مواد معدنی موجود در بافت‌های گیاه است. هر قدر میزان خاکستر بیشتر باشد، گیاه مواد معدنی بیشتری در اختیار دام قرار می‌دهد و بنابراین ارزش غذایی علوفه برای دام بیشتر می‌شود (Lewis and McFarlane, 1986).

#### هضم‌پذیری ماده خشک (DMD)

بیشترین میزان هضم‌پذیری ماده خشک (۷۲/۱ درصد) از تیمار کاربرد توان ۵۰ درصدی کودهای نانو+شیمیایی تحت شرایط آبیاری در ۵۰ درصد ظرفیت زراعی و کمترین میزان آن از تیمار کود کامل نانو تحت شرایط آبیاری در ۵۰ درصد ظرفیت زراعی به دست آمد. منابع کودی تحت شرایط تنش کم‌آبی مانع از کاهش میزان هضم‌پذیری ماده خشک علوفه ذرت شدند، به طوری که تفاوت خیلی معنی‌داری با گیاهان تحت شرایط آبیاری معمولی نداشتند (جدول ۴). کومبس و همکاران (Coombs *et al.*, 2017) گزارش کردند که کمبود فسفر، دیواره سلولی را به ساختن فیبر (افزایش فیبر) تحریک می‌کند و تولید پروتئین و قابلیت هضم گیاه کاهش می‌یابد.

#### کربوهیدرات‌های محلول در آب (WSC)

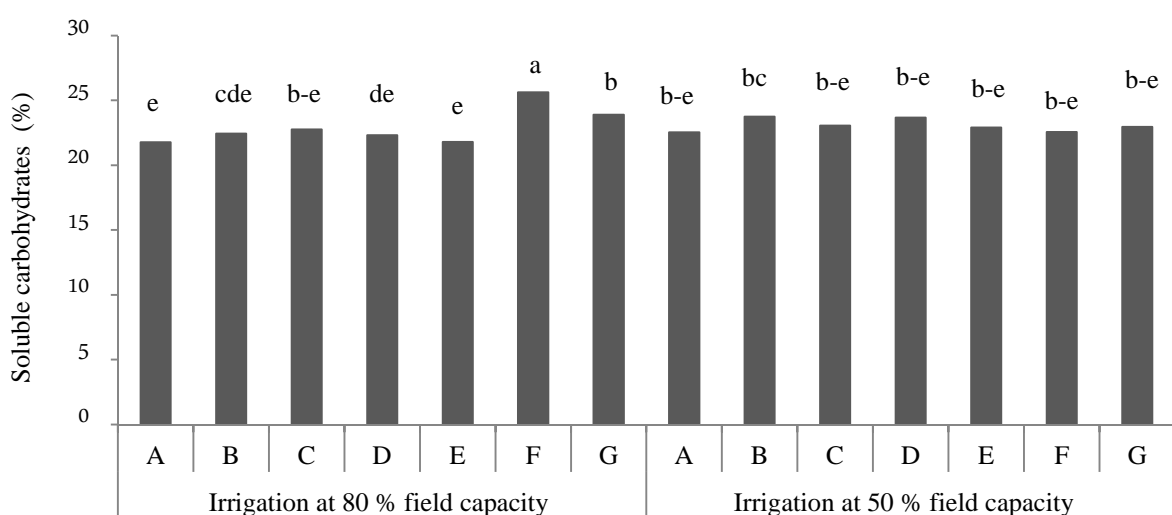
کربوهیدرات‌های محلول که بخش عمده‌ای از ترکیبات غیرساختمانی را تشکیل می‌دهند، یکی از مهم‌ترین اجزای

آنچه که فیبر خام شامل کلیه مواد غیرقابل هضم علوفه مانند سلولز، همیسلولز و لیگنین است، هر چه میزان فیبر خام علوفه بیشتر باشد، انرژی علوفه کمتر خواهد بود (Saha *et al.*, 2010). مقایسه میانگین‌ها نشان داد که کمترین میزان فیبر خام از تیمارهای کودی ۵۰ درصد کود شیمیایی و ۵۰ درصد کود نانو (۱۹/۹ درصد)، کود نانو (۲۰/۳ درصد) در شرایط آبیاری ۵۰ درصد ظرفیت زراعی بهدست آمد. همچنین استفاده از تیمار کود شیمیایی در شرایط آبیاری ۸۰ و ۵۰ درصد ظرفیت زراعی بهتری موجب افزایش ۲۱/۷ و ۲۲/۳ درصدی فیبر خام علوفه شد (شکل ۳). آرونsson و همکاران (Aronsson *et al.*, 2016) نیز افزایش فیبر خام علوفه را با افزایش مصرف کودهای شیمیایی گزارش کردند.

میانگین‌ها نشان داد که بیشترین میزان درصد خاکستر (۱۰/۷۶۶) از تیمار کودی نانو تحت شرایط آبیاری ۵۰ درصد ظرفیت زراعی و کمترین میزان آن (۱۰/۰۴۰) از تیمار شاهد تحت شرایط آبیاری ۵۰ درصد ظرفیت زراعی بهدست آمد (جدول ۴). علاوه بر آن، استفاده از تیمارهای کودی تحت شرایط تنفس کمآبی مانع از کاهش درصد خاکستر علوفه شد، به طوری که تفاوت آماری معنی‌داری با تیمارهای کودی تحت شرایط آبیاری معمولی نداشتند (جدول ۴).

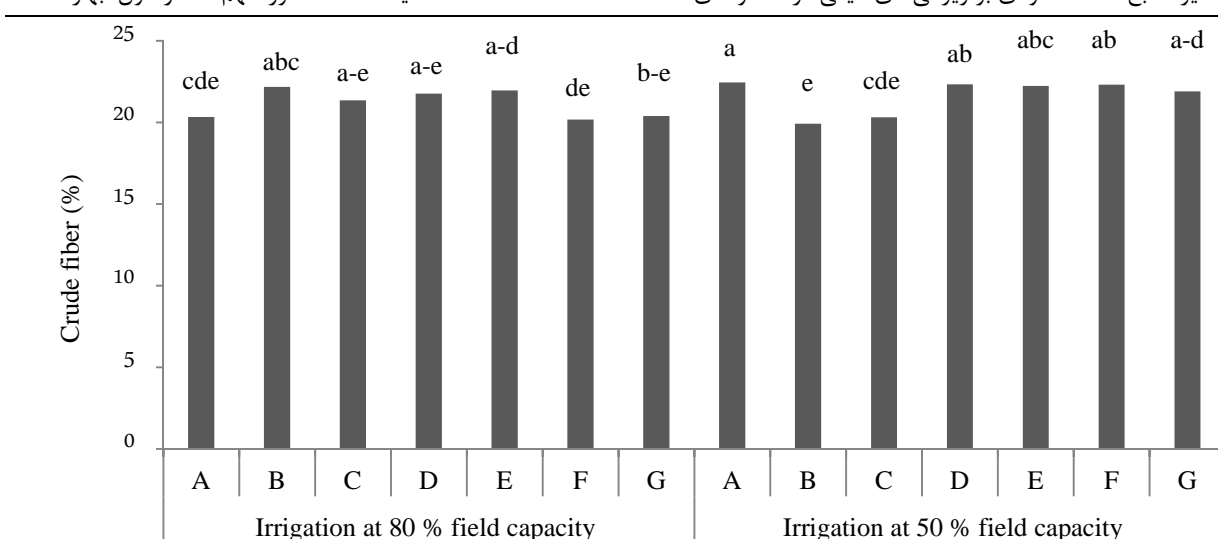
#### فیبر خام (CF)

اندازه‌گیری فیبر خان علوفه روشهای برای تفکیک کربوهیدرات‌ها به اجزای قابل هضم و غیرقابل هضم است. از



شکل ۲- مقایسه میانگین کربوهیدرات‌های محلول در آب ذرت علوفه‌ای تحت رژیم‌های مختلف آبیاری و کودی. تیمارهای کودی عبارت‌اند از: A شاهد، B کاربرد توان ۵۰ درصدی کودهای نانو+شیمیایی، C کود نانو، D کود شیمیایی، E کاربرد توان ۵۰ درصدی کودهای شیمیایی + زیستی-آلی، F کود زیستی-آلی، G کاربرد توان ۵۰ درصدی کودهای زیستی-آلی+نانو. میانگین‌های دارای حروف مشابه، تفاوت آماری معنی‌داری با آزمون LSD در سطح احتمال ۵ درصد ندارند.

Figure 2. Means comparison of the soluble carbohydrates of forage maize as affected by different irrigation regimes and fertilizers. Fertilizer treatments are included: A, control; B, combined fertilizers with 50% ratio of nano + chemical; C, nano fertilizer; D, chemical fertilizer; E, combined fertilizers with 50% ratio of chemical + organic-biofertilizer; F, organic-biofertilizer; G, combined fertilizers with 50% ratio of organic-biofertilizer + nano. Means followed by the similar letters are not significantly different by LSD test at 5% probability level.



شکل ۳- مقایسه میانگین فیبر خام ذرت علوفه‌ای تحت رژیم‌های مختلف آبیاری و کودی. تیمارهای کودی عبارت‌اند از: A شاهد، B کاربرد توان ۵۰ درصدی کودهای نانو+شیمیایی، C کود نانو، D کود شیمیایی، E کاربرد توان ۵۰ درصدی کودهای شیمیایی+ زیستی-آلی، F کود زیستی-آلی، G کاربرد توان ۵۰ درصدی کودهای زیستی-آلی+نانو. میانگین‌های دارای حروف مشابه، تفاوت آماری معنی‌داری با آزمون LSD در سطح احتمال ۵ درصد ندارند.

Figure 3. Means comparison of the crude fiber of forage maize as affected by different irrigation regimes and fertilizers. Fertilizer treatments are included: A, control; B, combined fertilizers with 50% ratio of nano+chemical; C, nano fertilizer; D, chemical fertilizer; E, combined fertilizers with 50% ratio of chemical+organic-biofertilizer; F, organic-biofertilizer; G, combined fertilizers with 50% ratio of organic-biofertilizer+nano. Means followed by the similar letters are not significantly different by LSD test at 5% probability level.

بهبود بیشتر صفات مورد مطالعه تحت هر دو شرایط آبیاری شد. بنابراین، تحت شرایط تنفس کم‌آبی، علاوه بر استفاده بهینه از آب و کاهش کاربرد کودهای شیمیایی که گامی در جهت کشاورزی پایدار و کاهش آلودگی‌های زیست-محیطی است، می‌توان به عملکرد کمی و کیفی مناسبی معادل کودهای شیمیایی یا حتی بالاتر از آن نیز دست یافت.

### نتیجه‌گیری کلی

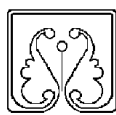
بهطور کلی نتایج این تحقیق نشان داد که تمامی ویژگی‌های کمی، کیفی و فیزیولوژیک ذرت علوفه‌ای به‌غیر از میزان فسفر برگ، به‌طور معنی‌داری تحت تأثیر رژیم‌های آبیاری و منابع مختلف کودی قرار گرفتند. در این راستا کاربرد توان ۵۰ درصدی کودهای نانو+شیمیایی منجر به

### References

- Amanullah, M. M., Archana, J., Manoharan, S. and Subramanian, K. S. 2012.** Influence of iron and AM inoculation on metabolically active iron, chlorophyll content and yield of hybrid maize in calcareous soil. *Journal of Agronomy* 11 (1): 27-30.
- Arnon, D. I. 1949.** Copper enzymes in isolated chloroplasts. Polyphenoloxidase in *Bete vulgaris*. *Plant Physiology* 24 (1): 1-15.
- Archana, J., Amanullah, M. M., Manoharan, S. and Subramanian, K. S. 2012.** Influence of iron and arbuscular mycorrhiza inoculation on growth and yield of hybrid maize in calcareous soil. *Madras Agricultural Journal* 99 (1): 65-67.
- Arruda, L., Beneduzzi, A., Martins, A., Lisboa, B., Lopes, C., Bertolo, F., Passaglia Maria, L. M. P. and Vargas, K. L. 2013.** Screening of *Rhizobacteria* isolated from maize (*Zea mays L.*) in Rio Grande do Sul State (South Brazil) and analysis of their potential to improve plant growth. *Applied Soil Ecology* 63: 15-22.
- Aronsson, H., Hansen, E. M., Thomsen, I. K., Liu, J., Gaard, A. F., Kankanen, H. and Ulén, B. 2016.** The ability of cover crops to reduce nitrogen and phosphorus losses from arable land in southern Scandinavia and Finland. *Journal of Soil and Water Conservation* 71 (1): 41-55.

- Bahadur, I., Singh Meena, V. and Kumar S.** 2014. Importance and application of potassic biofertilizer in Indian agriculture. **International Research Journal of Biological Sciences** 3 (12): 80-85.
- Barati, V. and Ghadiri, H.** 2017. Assimilate and nitrogen remobilization of six-rowed and two-rowed winter barley under drought stress at different nitrogen fertilization. **Archives of Agronomy and Soil Science** 63 (6): 841-855.
- Bates, L. S., Waldern, R. P. and Teave, I. D.** 1973. Rapid determination of free prolin for water stress studies. **Plant and Soil** 39: 205-207.
- Benami, A. and Ofen, A.** 1984. Irrigation engineering: Sprinkler, trickle, surface irrigation principles, design and agricultural practices. Irrigation Engineering Scientific Publication, IIIC Bet Dagan.
- Bona, E., Cantamessa, S., Massa, N., Manassero, P., Marsano, F., Copetta, A., Lingua, G., D'Agostino, G., Gamalero, E. and Berta, G.** 2017. Arbuscular mycorrhizal fungi and plant growth-promoting pseudomonads improve yield, quality and nutritional value of tomato: A field study. **Mycorrhiza** 27 (1): 1-11.
- Coombs, C., Lauzon, J. D., Deen, B. and Van Eerd, L. L.** 2017. Legume cover crop management on nitrogen dynamics and yield in grain corn systems. **Field Crops Research** 201: 75-85.
- Dastbandan Nejad, Sh., Saki Nejad, T. and Lack, Sh.** 2010. Studying the effect of drought stress and different levels of potassium fertilizer on K<sup>+</sup> accumulation in corn. **Nature and Science** 8: 23-27.
- Delauney, A. J. and Verma, D. P. S.** 1993. Proline biosynthesis and degradation in plant. **Plant Journal** 4: 215-223.
- FAOSTAT.** Food and agricultural organization. Retrieved June 30, 2018. Available online: <http://www.fao.org/faostat/en/#data/QC/visualize>.
- Gendy, A. S. H., Said-Al Ahl, H. A. H. and Mahmoud, A. A.** 2012. Growth, productivity and chemical constituents of roselle (*Hibiscus sabdariffa* L.) plants as influenced by cattle manure and biofertilizers treatments. **Australian Journal of Basic and Applied Sciences** 6 (5): 1-12.
- Jafari, A., Connolly, V., Frolich, A. and Walsh, E. K.** 2003. A note on estimation of quality in perennial ryegrass by near infrared spectroscopy. **Irish Journal of Agricultural and Food Research** 42: 293-299.
- Jeffrey, V. and Gyles, R.** 2003. Controlled release urea as a nitrogen source of corn in southern Minnesota. Annual Report. Southern Research and Outreach Center, University of Minnesota, Agrium, U.S. Inc.
- Khan, M. S., Ahmad Zaidi, E. and Oves, M.** 2013. Functional aspect of phosphate solubilizing bacteria: Importance in crop production. In: Maheshwari. D. K., Saraf, M. and Aeron, A. (Eds.). Bacteria in agrobiology: crop productivity. Springer, Berlin. pp: 237-263.
- Kizilkaya, R.** 2008. Yield response and nitrogen concentration of spring wheat (*Triticum aestivum*) inoculated with *Azotobacter chroococcum* strains. **Ecological Engineering** 33: 150-156.
- Lewis, D. C. and McFarlane, J. D.** 1986. Effect of foliar applied manganese on the growth of safflower and the diagnosis of manganese deficiency by plant issue and seed analysis. **Australian Journal of Agriculture Research** 72 (1): 57-59.
- Lithourgidis, A. S., Vasilakoglou, I. B., Dhima, K. V., Dordas, C. A. and Yiakoulaki, M. D.** 2006. Forage yield and quality of common vetch mixtures with oat and triticale in two seeding ratios. **Field Crops Research** 99: 106-113.
- Madani, A., Shirani-Rad, A., Pazoki, A., Nourmohammadi, G., Zarghami, R. and Mokhtassi-Bidgoli, A.** 2010. The impact of source or sink limitation on yield formation of winter wheat (*Triticum aestivum* L.) due to post-anthesis water and nitrogen deficiencies. **Plant, Soil and Environment** 56 (5): 218-227.
- Maougal, R. T., Brauman, A., Plassard, C., Abadie, J., Djekoun, A. and Drevon, J. J.** 2014. Bacterial capacities to mineralize phytate increase in the rhizosphere of nodulated clover under P deficiency. **European Journal of Soil Biology** 62: 8-14.
- Marschner, I.** 2006. Mineral nutrition of higher plants. Academic Press, USA. pp: 329-337.
- McDonald, P., Edwards, R. A., Greenhalgh, J. D. and Morgan, C. A.** 2002. Animal nutrition. 6<sup>th</sup> Ed. Prentice Hall Publishing.
- Meena, V. S., Maurya, B. R. and Verma, J. P.** 2014. Does a rhizospheric microorganism enhance K<sup>+</sup> availability in agricultural soils? **Microbiological Research** 169: 337-347.
- Moharramnejad, S., Valizadeh, M., Sofalian, O., Shiri, M. and Asgari, A.** 2017. Effect of water deficit stress on agronomic traits and superoxide dismutase (Mn-SOD) activity in three maize (*Zea mays* L.) hybrids. **Cereal Research** 6 (4): 521-531. (In Persian with English Abstract).

- Ness, P. J. and Woolhouse, H. W. 1980.** RNA synthesis in *phaseolus* chloroplasts. I. Ribonucleic acid synthesis and senescing leaves. **Journal of Experimental Botany** 31: 223-233.
- Osborne, S. L., Schepers, D. D., Francis, J. S. and Schlemmer, M. R. 2002.** Use of spectral radiance to estimate in-season biomass and grain yield in nitrogen and water stress on corn. **Crop Science** 42 (1): 165-171.
- Payero, J. Q., Tarkalson, D. D., Irmak, S., Davison, D. and Petersen, J. L. 2009.** Effect of timing of a deficit-irrigation allocation on corn evapotranspiration, yield, water use efficiency and dry mass. **Agricultural Water Management** 96: 1387-1397.
- Rameshaiah, G. N. and Jpallavi, S. 2015.** Nano fertilizers and nano sensors—An attempt for developing smart agriculture. **International Journal of Engineering Research and General Science** 3 (1): 314-320.
- Saha, U. K., Sonon, L. S., Hancock, D. W., Hill, N. S., Stewart, L., Heusner, G. L. and Kissel, D. E. 2010.** Common terms used in animal feeding and nutrition [Online]. Available at <http://athenaeum.libs.uga.edu/bitstream/handle/10724/12196/B1367.pdf?sequence=1>.
- Siddiqui, M. H., Al-Whaibi, M. H., Firoz, M. and Al-Khaisshany, M. Y. 2015.** Role of nanoparticles in plant. In: Nanotechnology and plant science. Springer. pp: 19-35.
- Sika, M. P. 2012.** Effect of biocharon chemistry, nutrient uptake and fertilizer mobility in sandy soil. M. Sc. Dissertation, Stellenbosch University, Stellenbosch.
- Snap, S. S., Swinton, S. M., Labarta, R., Mutch, D., Black, J. R., Leep, R., Nyiraneza, J. and Oneil, K. 2005.** Evaluating cover crops for benefits, costs and performance within cropping system niches. **Agronomy Journal** 97: 322-332.
- Tenninghoff, E. and Houba, V. 2004.** Plant analysis procedures. 2<sup>nd</sup> Ed. Kluwer Academic Publishers.
- USDA. 2018.** Circular series on world agricultural supply and demand estimates-578. Retrieved June 29, 2018. Available online: <http://usda.mannlib.cornell.edu/usda/waob/wasde//2010s/2018/wasde-06-12-2018.pdf>.
- Veberic, R., Vodnik, D. and stamper, F. 2005.** Influence of foliar-applied phosphorus and potassium on photosynthesis and transpiration of golden delicious apple leaves (*Malus domestica* Borkh.). **Acta Agriculturae Slovenica** 85 (1): 143-155.
- Wu, Q. and Xia, R. 2006.** Arbuscular mycorrhizal fungi influence growth, osmotic adjustment and water stress conditions. **Journal of Plant Physiology** 163: 417-425.
- Zahir, Z. A., Abbas, S. A., Khalidand, M. and Arshad, M. 2000.** Substrate dependent microbially derived plant hormones for improving growth of maize seedlings. **Pakistan Journal of Biotechnology** 3 (2): 289-291.



## **The effect of different fertilizer sources on qualitative characteristics of forage maize under water deficit stress conditions**

**Farzad Ghodrati Aversi<sup>1</sup>, Jalal Jalilian<sup>2\*</sup> and Sina Siavash Moghaddam<sup>3</sup>**

---

Received: January 10, 2019

Accepted: June 1, 2019

---

### **Abstract**

To study the effect of different fertilizers on reducing the effects of water deficit stress on forage maize (KSC703), an experiment was carried out as split plots in randomized complete block design with three replications in West Azerbaijan, Iran, in 2016. Irrigation treatments including irrigation at 80% field capacity (normal irrigation) and irrigation at 50% field capacity (water deficit stress) were considered as main factor and fertilizer sources including control (water spraying), organic-biofertilizer, complete fertilizers (chemical, nano) and combined application of 50% fertilizers (organic-biofertilizer + nano, organic-biofertilizer + chemical fertilizer, chemical + nano) as sub-factor. The results of mean comparisons indicated that the highest content of photosynthetic pigments (chlorophylls-a and -b) were observed under normal irrigation conditions and combined application of 50% chemical+nano fertilizers which resulted in the highest fresh ( $70 \text{ t.ha}^{-1}$ ) and dry ( $32 \text{ t.ha}^{-1}$ ) forage yield. This treatment combination resulted in a 47% increase in fresh and dry forage yield compared to control fertilizer treatment. The highest proline content was obtained from nano fertilizer treatment under water deficit stress conditions. Most fertilizer treatments increased leaf potassium under both irrigation conditions. Also, application of most fertilizer treatments under normal irrigation conditions increased crude protein, dry matter digestibility, water soluble carbohydrates and crude fiber content compared to the control treatment. Based on the results of this research, combined application of 50% chemical+nano fertilizers was determined as an effective fertilizer combination under both irrigation conditions due to improvement of some quantitative and qualitative characteristics of forage maize.

**Keywords:** Bio-fertilizer, Chemical fertilizer, Crude protein, Proline, Nano-fertilizer

---

1. Former M. Sc. Student, Dept. of Plant Production and Genetic, Faculty of Agriculture and Natural Resources, Urmia University, Urmia, Iran

2. Assoc. Prof., Dept. of Plant Production and Genetic, Faculty of Agriculture and Natural Resources, Urmia University, Urmia, Iran

3. Assist. Prof., Dept. of Plant Production and Genetic, Faculty of Agriculture and Natural Resources, Urmia University, Urmia, Iran

\* Corresponding author: [j.jalilian@urmia.ac.ir](mailto:j.jalilian@urmia.ac.ir)